CONCEITOS BÁSICOS PARA O DIMENSIONAMENTO DE PILARES MISTOS PREENCHIDOS: ASPECTOS NORMATIVOS

Silvana De Nardin

Dra. em Engenharia de Estruturas - Pós-doutoranda: snardin@sc.usp.br

Ana Lucia H. de C. El Debs

Professora Doutora: analucia@sc.usp.br

Departamento de Engenharia de Estruturas Escola de Engenharia de São Carlos Universidade de São Paulo

RESUMO

Neste trabalho é apresentada a formulação básica para o dimensionamento e a verificação de pilares mistos preenchidos curtos. São descritos os principais conceitos contidos nas seguintes normas técnicas: AISC-LRFD, ACI 318, BS 5400, Eurocode 4 e NBR 14323. A formulação descrita neste trabalho é aplicável a pilares preenchidos submetidos à compressão simples e à flexo -compressão e permite conhecer, ainda que sucintamente, a abordagem adotada por normas técnicas de diversos países.

1. INTRODUÇÃO

O desenvolvimento econômico, técnico e científico fez surgir diversos sistemas estruturais e construtivos, entre os quais estão os sistemas formados por elementos mistos. Dentre os elementos estruturais que compõem tal sistema estão os pilares mistos aço-concreto, que são formados pela associação de um ou mais perfis estruturais de aço, revestidos ou preenchidos com concreto. A idéia de proteção dos pilares metálicos impulsionou o surgimento dos primeiros pilares mistos aço-concreto que, desde então, evoluíram e hoje apresentam variações no arranjo e composição destes materiais.

Os pilares cujos perfis são revestidos por concreto são denominados *mistos revestidos*. Este tipo de elemento misto surgiu devido à necessidade de proteger os perfis da ação nociva do fogo e da corrosão – Figura 1a.

Posteriormente, o concreto passou a ser utilizado como material de preenchimento dos perfis tubulares surgindo, desta forma, os *pilares mistos preenchidos*; elementos estruturais em que a seção de aço é formada por um ou mais perfis em aço estrutural, preenchida com concreto – Figura 1b.

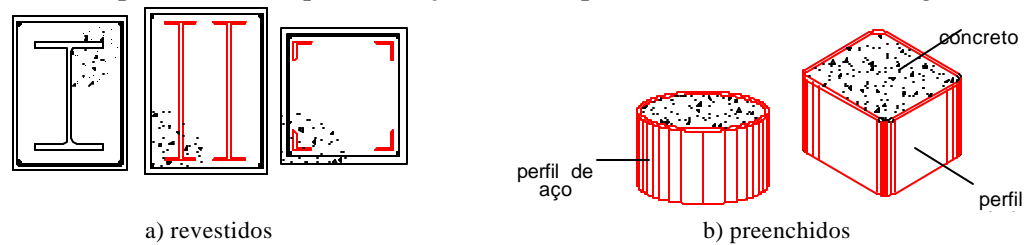


Figura 1: Exemplos de pilares mistos

A utilização de elementos mistos na composição de sistemas estruturais apresentou crescimento significativo nas últimas décadas. Tal crescimento, sobretudo quanto à utilização de pilares mistos preenchidos, justifica-se por vantagens econômicas, construtivas e estruturais inerentes a estes elementos. Neste sentido, podem ser destacadas vantagens como: redução das dimensões dos elementos estruturais, com conseqüente economia de materiais, mão-de-obra e maior área livre por pavimento; grande resistência, rigidez e ductilidade, especialmente com o advento dos aços e concretos de alta resistência. Em relação aos aspectos construtivos, se destacam a ausência de formas e a possibilidade de eliminar ou reduzir armaduras, propiciando economia de materiais e mão-de-obra, redução do desperdício daqueles e maior limpeza no canteiro de obra.

O recente surgimento dos concretos de alta resistência - CARs - permitiu ampliar a utilização dos pilares mistos preenchidos pois, além de uma melhoria no projeto arquitetônico, propiciada pela possibilidade de maiores vãos, a economia resultante do uso de maiores resistências para o concreto se reflete na redução da seção dos pilares e dos elementos de fundação.

Em função das características descritas há pouco, este trabalho adquire relevância pois apresenta, de forma breve e sucinta, a formulação e procedimentos utilizados para o dimensionamento de pilares preenchidos curtos, submetidos a solicitações de compressão simples ou de flexo-compressão. Além disso, é um meio de divulgação de um elemento estrutural cuja utilização e vantagens estão consagradas em diversos países. Desta forma, contribui para introduzir no Brasil, a idéia de empregar elementos mistos como solução estrutural.

2. UTILIZAÇÃO DE PILARES MISTOS PREENCHIDOS

As boas características atribuídas aos pilares preenchidos justificam o crescente interesse em ampliar o conhecimento atual e desenvolver pesquisas que visem aprimorar e agilizar a aplicação das normas e recomendações de projeto existentes. Além disso, justificam a utilização de sistemas estruturais formados pela associação de elementos mistos e elementos de concreto armado ou de aço. Como exemplo mais recente desta associação de tecnologias, cita-se o *Edifício Millennium Tower* localizado em Viena/Áustria – Figura 2.









Figura 2: Edifício Millennium Tower¹

Outro excelente exemplo da aplicação dos pilares mistos preenchidos é o *Shopping Center Iso Omena*, localizado na Finlândia e que envolve uma área para lojas, uma torre comercial e outra re-

¹ Fonte: http://www.aisc.org/Content/ContentGroups/Documents/Connections_IV_Proceedings/138.pdf (11-03-2003, 16:07h).

sidencial, localizadas acima do shopping center. A estrutura do shopping center é formada por lajes alveolares pré-moldadas, vigas de aço e pilares preenchidos; nestes pilares foram acrescentadas barras de armadura para aumentar a taxa de armadura longitudinal. Na Figura 3 são ilustrados alguns aspectos da estrutura deste shopping center em sua fase construtiva. Outros exemplos da utilização de pilares preenchidos em edifícios são dados na Tabela 1.





Figura 3: Detalhes do shopping center Iso Omena em sua fase construtiva²

Tabela 1: Exemplos da utilização de pilares preenchidos - sistemas estruturais de edifícios



Ed. Casselden Place: Melbourne-Austrália, Pilares preenchidos com concreto C70 – seção circular³.



Ed. Forrest Centre: localizado em Perth -Austrália ⁴.



Ed. Two Union Square: Washington-EUA. Pilares preenchidos com concreto de 130MPa⁵.



Ed. Commerzbank: Frankfurt-Alemanha. Pilares preenchidos de seção triangular ⁶.

Não dispomos de exemplos da utilização de pilares preenchidos no Brasil entretanto, provavelmente já tenham sido utilizados na composição de sistemas estruturais de alguns edifício s mas o acesso a tais informações é difícil e fica restrito à Cidade ou ao Estado em que tais elementos estruturais foram utilizados.

3. DIMENSIONAMENTO DE PILARES PREENCHIDOS: FORMULAÇÃO

Com a crescente utilização dos pilares preenchidos, surgiu a necessidade de tais elementos serem abordados pelas normas de dimensionamento. Assim sendo, a verificação e o dimensionamento dos pilares preenchidos foram incorporados às normas de projeto já existentes. Isto ocorreu com a norma americana ACI 318, que abordava somente elementos em concreto armado. O mesmo ocorreu com as normas AISC-LRFD e BS 5400 que, inicialmente enfocavam apenas elementos de aço.

A primeira "norma" criada com o objetivo de abordar exclusivamente elementos estruturais mistos

² Fonte: Prof. Mounir Khalil El Debs.

³ Council on tall buildings and urban habitat. Committee 3, p. 128, 1985.

⁴ Council on tall buildings and urban habitat. Committee 3, p. 357, 1985.

⁵ Commercial design (1998). http://www.nbbj.com/SEAPRO~3.HTM (06/06/1998).

⁶ The highest office building in Europe (1998), http://www.hebel.com/commerzb.htm (06/06/1998).

foi o código europeu Eurocode 4. Posteriormente, foi elaborada a norma brasileira NBR 14323:2000 que aborda, em seu anexo B, o dimensionamento de pilares mistos em temperatura ambiente. Elementos mistos como pilares e lajes, não citados pela norma brasileira de estruturas metálicas NBR 8800:1986 (que aborda apenas vigas mistas) foram incluídos em anexos da norma NBR 14323:2000, também para a condição de temperatura ambiente. A abordagem adotada pela NBR 14323:2000 foi inspirada no Eurocode 4:1994, contudo, seria interessante incluir o dimensionamento de pilares e lajes mistas na NBR 8800:1986, que se refere a elementos metálicos e mistos (lajes e vigas) em temperatura ambiente. Isto vem sendo feito atualmente e, em breve, pilares e lajes mistas estarão presentes na nova versão da NBR 8800.

3.1 Nomenclatura

Ao iniciar o estudo sobre as recomendações normativas tornou-se necessário definir uma nomenchtura geral, elaborada a partir do estudo aprofundado destas normas. Esta nomenclatura básica é apresentada a seguir.

- A: área de concreto
- A: área do perfil tubular
- E_t: módulo de elasticidade secante do concreto
- E_{tm}: módulo de elasticidade secante do concreto para ações de curta duração
- E_m: módulo de elasticidade modificado pela presença do concreto
- E: módulo de elasticidade do perfil tubular
- I_c: momento de inércia do concreto
- I_s: momento de inércia do perfil tubular
- M_{Rd}: momento fletor resistente valor de cálculo
- M_{Sd}: momento fletor solicitante valor de cálculo
- M_{p/Rd}: momento plástico resistente valor de cálculo
- N_{cd}: capacidade resistente da seção de concreto valor de cálculo
- N_a: força crítica de Euler
- N_{G,Sd}: parcelas permanente e quase permanente de N_{Sd}
- N_{Rd}: força normal resistente do pilar sujeito a flexo-compressão valor de cálculo
- N_{Sd}: força normal solicitante valor de cálculo
- $N_{p,\ell,Rd}$: força normal resistente de cálculo à compressão simples valor de classificação
- $N_{p,R}$: força normal resistente à compressão simples considerando $\gamma_c = \gamma_s = 1$
- R: relação entre o menor e o maior momento fletor agindo nas extremidades do pilar misto
- a: altura do bloco de concreto comprimido
- b: menor dimensão externa do perfil tubular
- f_{ck}: resistência característica do concreto a compressão uniaxial em corpos-de-prova cilíndricos 15cmx30cm, aos 28 dias
- f_{cd}: resistência de cálculo do concreto a compressão uniaxial, em corpos-de-prova cilíndricos 15cmx30cm, aos 28 dias
- f_{cr}: resistência crítica modificada pela presença do concreto
- f_{cu}: resistência característica de cubos de concreto com 100mm de lado, aos 28 dias: f_{cu}=1,25f_{ck}
- f_{mv}: resistência ao escoamento modificada pela presença do concreto
- f_v: resistência característica do perfil tubular ao escoamento
- f_{vd}: resistência de cálculo do perfil tubular ao escoamento
- h: maior dimensão externa do perfil tubular
- hn: distância entre o centro geométrico da seção transversal preenchida e a linha neutra

- i: raio de giração
- r: raio de dobramento do perfil tubular
- t: espessura do perfil tubular
- ℓ_e : comprimento de flambagem do pilar
- $\ell_{\rm E}$: comprimento do pilar para o qual a força resistente é igual à força crítica de Euler
- α_c: fator de contribuição do concreto
- β : relação entre o maior e o menor momento fletor agindo nas extremidades do pilar misto: β =1/R
- δ: relação entre a resistência de cálculo da seção de aço e a resistência de cálculo da seção mista, para o estado limite de plastificação
- γ: densidade do concreto ou coeficiente de ponderação do concreto
- γ_s: coeficiente de ponderação do aço do perfil tubular
- λ: índice de esbeltez
- λ_c : índice de esbeltez modificado pela presença do concreto
- $\overline{\lambda}$: parâmetro de esbeltez reduzida
- λ_{cr} : índice de esbeltez de Euler
- p: relação entre os valores de resistência à compressão do concreto e de ao resistência escoamento do aço

3.2 Filosofia de projeto, termos e especificações

Devido à inclusão dos pilares preenchidos em normas técnicas já existentes, estas abordam os pilares preenchidos sob filosofias de projeto muito distintas entre si. A norma ACI 318-R95 aborda o dimensionamento dos pilares mistos partindo da substituição do perfil tubular por barras de aço com área transversal equivalente, distribuídas em volta do núcleo de concreto.

A formulação apresentada pelo AISC-LRFD:1999 parte dos procedimentos empregados para o cálculo de pilares de aço, porém parâmetros como esbeltez e módulo de elasticidade são modific ados para considerar a presença do concreto.

O Eurocode 4 foi redigido a fim de abordar estruturas mistas formadas por aço e concreto e, por isso, é a norma que apresenta a abordagem mais detalhada e completa para o dimensionamento e verificação de pilares preenchidos.

Quanto à resistência do concreto, para cada uma das normas consultadas, são apresentados diferentes valores limites. Na Tabela 2 são dados os limites normativos para a resistência dos materiais.

Norma Concreto (MPa) Aço (MPa) Aço (MPa) 20.7 < f < 55.1

Norma	Concreto (MPa)	Aço (MPa)
AISC-LRFD:1999	$20.7 \le f_{ck} \le 55.1$	$248 \le f_v \le 379$
Eurocode 4:1994	$20 \le f_{ck} \le 50$	$235 \le f_v \le 355$
NBR 14323:2000	$20 \le f_{ck} \le 40^7$	$250 \le f_v \le 350$
BS 5400:1979	f _{ck} ≥ 16	$275 \le f_v \le 355$
ACI-318R:1995	$20 \le f_{ck} \le 50$	-

⁷Limites sugeridos em QUEIROZ & PIMENTA & MATA (2001)

Na Tabela 3 são apresentadas as principais especificações para dimensionamento e verificação de pilares preenchidos, visando destacar as diferenças mais importantes.

Item Norma $\frac{\ell_e}{b} \le 65 : seções retangulares$ $\overline{\lambda} \le 2.0$ BS 5400:1979 Limites de esbeltez Eurocode 4:1994; NBR 14323:2000 BS 5400:1979 $E_c = 450f_{cu} = 562,5f_{ck}$ $E_{cd} = \frac{E_{cm}}{\gamma_{c} = 1,35}$ $E_{c} = 42\gamma_{c}^{1.5}\sqrt{f_{ck}} (\gamma_{c}:kN/m^{3}; f_{ck}:MP_{a})^{8}$ $E_{m} = E_{s} + 0.4E_{c}\frac{A_{c}}{A_{s}}$ Eurocode 4:1994 Módulo de elastic i-NBR 14323:2000 dade longitudinal do concreto e do aço AISC-LRFD:1999 $E_{c} = 0.040957 \gamma_{c}^{-1.5} \sqrt{f_{ck}} (\gamma_{c} : kg/m^{3}; f_{ck} MP_{a})^{1}$ BS 5400:1979; ACI 318-R95; $t \ge b \cdot \sqrt{\frac{f_y}{3 \cdot E_s}}$ AISC-LRFD:1999 $t \ge \frac{b}{52\epsilon}; \ \epsilon = \sqrt{\frac{235}{f_y}} \ \to \ f_y \ em \ MPa$ Instabilidade local Eurocode 4:1994 NBR 14323:2000 $\frac{h}{t} \le 1,76 \cdot \sqrt{\frac{E_s}{f_v}}$ BS 5400:1979 Coeficientes de $\gamma_s = 1,10; \ \gamma_c = 1,50$ Eurocode 4:1994 ponderação NBR 14323:2000 AISC-LRFD:1999 $\lambda_{c} = \frac{\ell_{e}}{r_{s}\pi} \left(\frac{f_{my}}{E_{m}}\right)^{0.5}; \quad f_{my} = f_{y} + 0.85 \cdot f_{ck} \cdot \frac{A_{c}}{A_{s}}$ $\lambda = \frac{\ell_{e}}{\pi} \left(\frac{A_{s}f_{y} + A_{c}f_{ck}}{E_{s}I_{s} + 0.8\frac{E_{c}I_{c}}{1.35}}\right)^{0.5}$ AISC-LRFD:1999 Indices de Esbeltez Eurocode 4:1994 BS 5400:1979

Tabela 3: Algumas prescrições normativas importantes

3.1 Compressão simples

As equações recomendadas por algumas normas de dimensionamento para o cálculo da capacidade resistente à compressão simples são apresentadas na Tabela 4.

⁸ Destas duas expressões resultam valores idênticos.

Norma	Capacidade Resistente à Compressão Simples	
ACI 318R -95:1995	$N_{p\ell,Rd} = 0.85 \cdot \left(0.85 \cdot f_{ck} \cdot A_c + f_y \cdot A_s\right)$	
AISC-LRFD:1994	$N_{p\ell,Rd} = 0.85 \cdot A_s \cdot f_{cr}$ Se $\lambda_c \le 1.5$, $f_{cr} = \left(0.658^{\lambda_c^2}\right) \cdot f_{my}$ e se $\lambda_c > 1.5$, $f_{cr} = \frac{0.877}{\lambda_c^2} \cdot f_{my}$	
BS 5400:1979	$N_{p\ell,Rd} = 0.91 \cdot A_s \cdot f_y + 0.45 \cdot A_c \cdot f_{cu} = 0.91 \cdot A_s \cdot f_y + 0.562 \cdot A_c \cdot f_{ck}$	
Eurocode 4:1994	$\begin{split} N_{p\ell,Rd} &= \frac{A_s \cdot f_y}{\gamma_s} + 1.0 \cdot \frac{A_c \cdot f_{ck}}{\gamma_c}; \qquad N_e = \pi^2 \cdot \frac{\left(EI\right)_e}{\ell_e^2} \\ \left(EI\right)_e &= E_s \cdot I_s + 0.8 \cdot E_{cd} \cdot I_c; \overline{\lambda} = \sqrt{\frac{N_{p\ell,R}}{N_e}}^* \end{split}$	
Np ℓ,R: calculado conside	rando $\gamma_c = \gamma_s = 1$.	

Tabela 4: Capacidade resistente à compressão simples - pilares mistos preenchidos

A partir da formulação apresentada na Tabela 4 é possível dimensionar e verificar a capacidade resistente de pilares preenchidos curtos, submetidos à compressão simples. Maiores detalhes sobre esta formulação podem ser encontrados nas referidas normas técnicas e em DE NARDIN (1999), onde são apresentados e comparados, valores de capacidade resistente teóricos e experimentais. Para as seções quadradas e retangulares avaliadas por DE NARDIN (1999) houve excelente correlação entre valores teóricos e experimentais. A seguir, é apresentada a formulação para a situação de flexo-compressão.

3.2 Flexo-compressão

Uma das formas de conhecer o comportamento de uma seção transversal qualquer, flexo-comprimida, é a construção dos diagramas de interação *Momento fletor x Força normal*. Tais diagramas relacionam valores resistentes de momento fletor e esforço normal que representam a capacidade resistente da seção mista flexo-comprimida. Se aos diagramas de interação for adicionada a habitualmente denominada "reta de carregamento", é possível encontrar a capacidade resistente (par M, N) da seção transversal em questão, para valores conhecidos de força axial excêntrica aplicada - F.

Os diagramas de interação são construídos a partir de equações de equilíbrio e da variação da posição da linha neutra y. Neste caso, os diagramas têm forma parabólica, oriunda da relação quadrática entre M e N. As equações de equilíbrio são construídas levando em conta a compatibilidade de deformações e dependem inteiramente das relações constitutivas adotadas para cada um dos materiais presentes na seção transversal.

A formulação apresentada pelas normas técnicas aqui discutidas parte dos diagramas de interação M-N. A seguir, são apresentadas as distribuições de tensões adotadas por cada uma dessas nor-

mas, necessárias para a construção das equações de equilíbrio.

Na Figura 4, os diagramas de tensões adotados pelo ACI 318 são apresentados, merecendo destaque, a mudança que ocorreu na distribuição de tensões no aço entre as edições do ACI 318 e ACI 318 R-95. A versão de 1995 permite plastificarão total do perfil tubular.

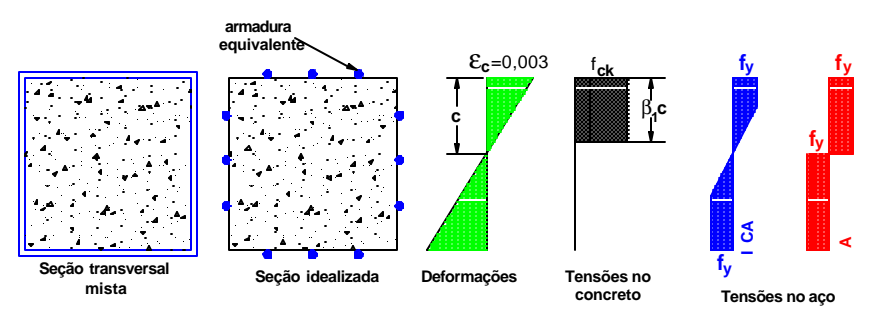


Figura 4: Equivalência proposta pelo ACI 318R-95

Quanto à altura do diagrama de tensões, o ACI 318R-95 apresenta uma particularidade: é utilizado um coeficiente para fazer com que tal altura varie em função da resistência do concreto. A altura do diagrama de concreto comprimido a, é reduzida pelo coeficiente β_l a fim de utilizar um diagrama de tensões retangular equivalente. O coeficiente β_l é função da resistência à compressão uniaxial do concreto e assume os seguintes valores:

- $\beta_1 = 0.85 \text{ para } f_{ck} \le 28 \text{ MPa}$
- para 28 MPa < $f_{ck} \le 56$ MPa, a cada 7 MPa de acréscimo (além dos 28 MPa) β_1 sofre uma redução de 0,05;
- para $f_{ck} > 56 \text{ MPa} \Rightarrow \beta_1 = 0.65$.

A distribuição de tensões admitida pela BS 5400:1979 é apresentada na Figura 5 e, em seu equacionamento, já estão incluídos o coeficiente redutor da resistência do concreto (γ_c), tomado igual a 1,5 e o efeito da fluência. A altura do bloco de concreto comprimido é dada por:

$$a = \frac{A_s - 2bt}{(b - 2t)\rho + 4t} \quad e \quad \rho = \frac{0.4f_{cu}}{0.91f_y} = \frac{0.5f_{ck}}{0.91f_y}$$
 (1)

O parâmetro α_c , que representa a contribuição do concreto na resistência da seção mista é dado por:

$$\alpha_{c} = \frac{0.45 \cdot A_{c} \cdot f_{cu}}{N_{p\ell,Rd}} = \frac{0.562 \cdot A_{c} \cdot f_{ck}}{N_{p\ell,Rd}}$$
(2)

Para a BS 5400, são consideradas seções preenchidas, aquelas cujo fator de contribuição do concreto pertença ao intervalo:

$$0.10 < \alpha_c < 0.80$$

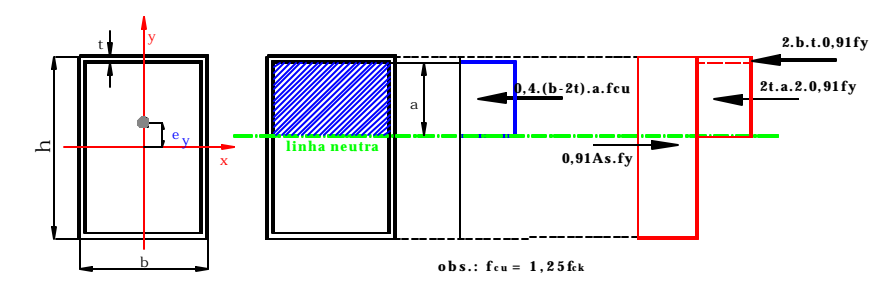


Figura 5: Seção preenchida flexo-comprimida - BS 5400:1979

Apesar de todas as normas em questão adotarem diagrama retangular de tensões para o concreto, a largura de tal diagrama varia muito de uma para outra. As recomendações do ACI 318R-95, AISC-LRFD e Eurocode 4 remetem para um diagrama de tensões com largura f_{ck} . Em contrapartida, a norma BS 5400 sugere $0.56f_{ck}$.

O dimensionamento e verificação de seções preenchidas via Eurocode 4 têm por base as curvas européias de resistência. Pelo método simplificado, aplicável a seções duplamente simétricas e sem variações de seção ao longo da altura do pilar preenchido, a curva parabólica que exprime a atuação simultânea de M e N é reduzida a uma poligonal representada por cinco pontos, que ilustram as diversas solicitações normais a que o pilar preenchido pode estar sujeito - Figura 6.

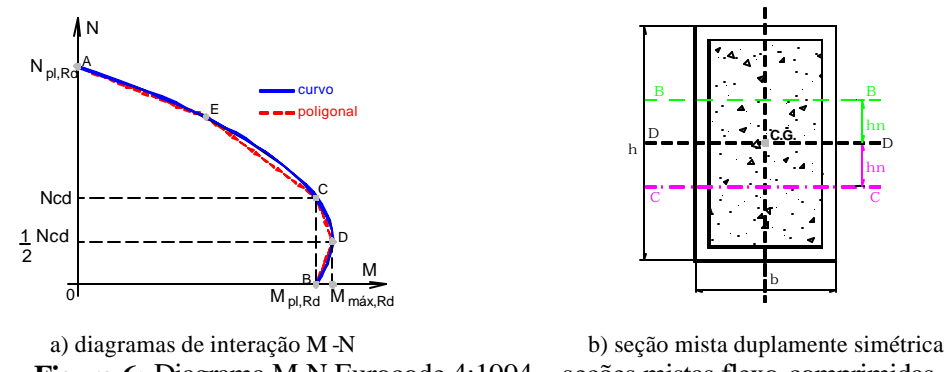


Figura 6: Diagrama M-N Eurocode 4:1994 - seções mistas flexo-comprimidas

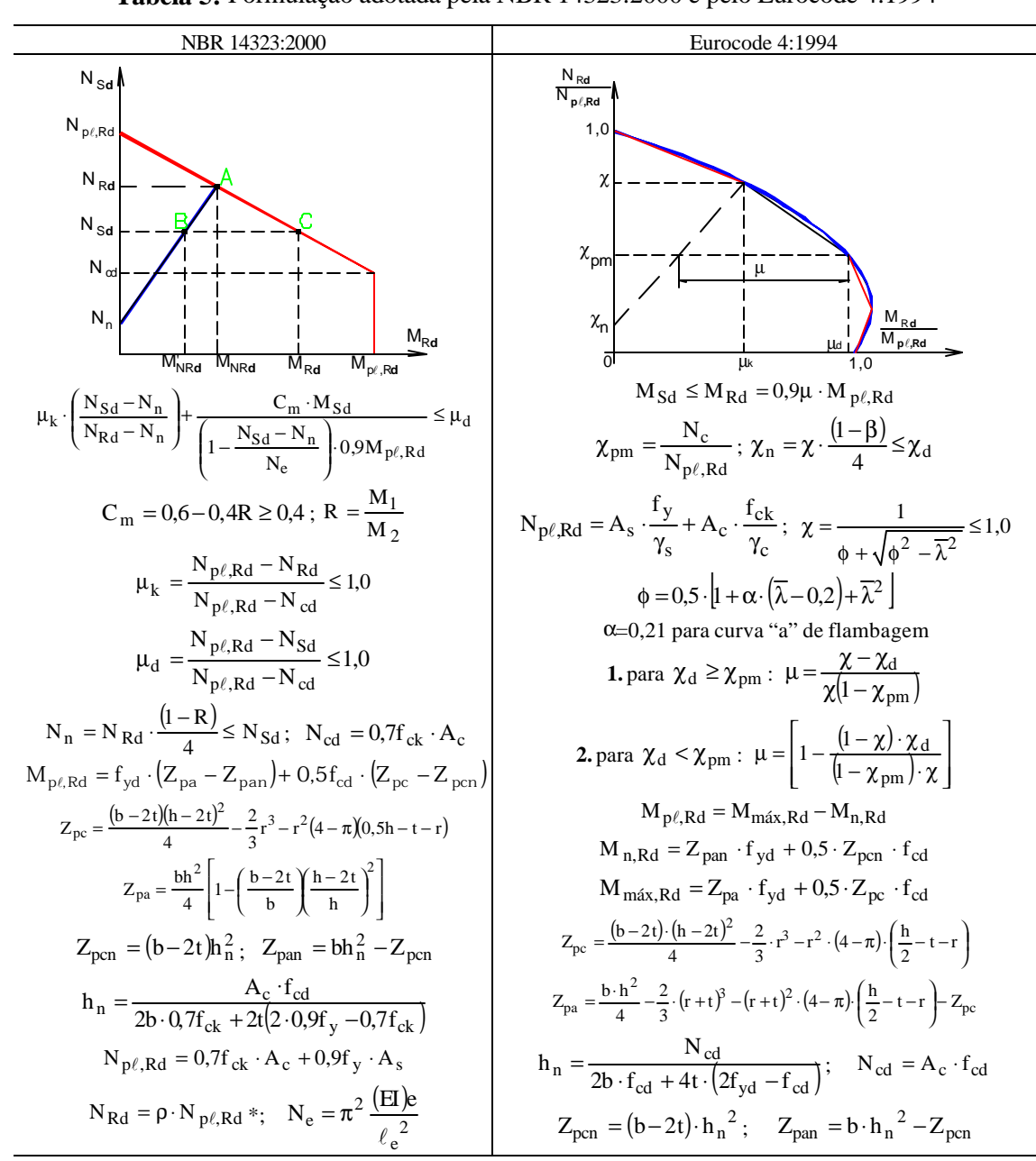
Os pontos do diagrama M-N representam:

- **ponto A**: situação de compressão simples (M=0; N_{p,(Rd)})
- ponto B: flexão pura com ruptura ocorrendo quando a deformação última do concreto à compressão é atingida (M_{p,Rd}; N=0)
- ponto C: seção submetida à flexo-compressão (M_{pgRd}; N_{cd})
- ponto D: seção submetida à flexo-compressão (M_{máx.Rd};)
- **ponto E**: seção submetida à flexo-compressão. Para o cálculo do par (M,N), a linha neutra é suposta situada num ponto intermediário entre hn e a borda da seção, tendo-se $h_e = \frac{h_n}{2} + \frac{h}{4}$ e $N_{Rd,E} = b \cdot (h_E h_n) \cdot f_{cd} + 2t \cdot (h_E h_n) \cdot (2f_{yd} f_{cd}) + N_{cd}$.

As expressões para o cálculo de $N_{p_{\ell}Rd}$, $M_{p_{\ell}Rd}$, $M_{max,Rd}$ e N_{cd} são dados na Tabela 5.

Em função da semelhança existente entre a formulação adotada pela NBR 14323 e pelo Eurocode 4, ambas são listadas na Tabela 5.

Tabela 5: Formulação adotada pela NBR 14323:2000 e pelo Eurocode 4:1994



Zpa: módulo resistente plástico da seção de aço; Zpc: módulo resistente plástico da seção de concreto não fissurado; Zpan, Zpcn: módulos plásticos de resistência.

O sinal de R varia em função do tipo de curvatura de flexão: para curvatura reversa, R é positivo e para curvatura simples, R é negativo.

Para a norma britânica BS 5400, a equação de interação M-N é dada por:

$$N_{Rd} = N_{p\ell,Rd} \cdot \left[k_1 - (k_1 - k_2 - 4k_3) \cdot \frac{M_{Sd}}{M_{Rd}} - 4k_3 \cdot \left(\frac{M_{Sd}}{M_{Rd}} \right)^2 \right]$$
 (3)

sendo:

$$\begin{split} M_{Rd} &= 0.91 f_y \left[A_s \cdot \frac{(h-a)}{2} + bt \cdot (t+a) \right] \\ k_1 &= \frac{1}{2} \cdot \left[1 + \frac{(1+\eta)}{\lambda^2} \right] - \sqrt{\frac{1}{4} \cdot \left[1 + \frac{(1+\eta)}{\lambda^2} \right]^2 - \frac{1}{\lambda^2}} \; ; \quad \eta = 0.002 \cdot \lambda_{cr} \cdot (\lambda - 0.2) \le 0 \; ; \quad \lambda_{cr} = \pi \cdot \sqrt{\frac{1.1 \cdot E_s}{f_v}} \end{split}$$

- k₁: coeficiente que introduz o efeito da instabilidade global
- η : coeficiente que leva em conta as imperfeições iniciais do perfil tubular: $0 \le \frac{k_2}{k_{12}} \le 1$ e k_{20} ≤ 0,75. Tal relação assume valores positivos quando ocorre curvatura simples de flexão. Se a relação k₂/k₂₀ for negativa, deve ser tomada igual a zero.

$$\frac{k_{2}}{k_{20}} = \left[\frac{90 - 25 \cdot (2\beta - 1) \cdot (1.8 - \alpha_{c}) - c_{4} \cdot \lambda}{30 \cdot (2.5 - \beta)}\right]; \quad k_{20} = 0.9 \cdot \alpha_{c}^{2} + 0.2 \; ; \; k_{3} = 0.0$$

C₄=100 para curva "a" de flambagem

A norma americana AISC-LRFD apresenta duas curvas de interação, que são função da relição $\frac{N_{Sd}}{0,85N_{P\ell,Rd}}$:

$$\frac{N_{Sd}}{0.85N_{p\ell,Rd}} \ge 0.2; \qquad \frac{N_{Sd}}{0.85N_{p\ell,Rd}} + \frac{8}{9} \left(\frac{M_{Sd}}{0.9M_{p\ell,Rd}} \right) \le 1$$

$$\frac{N_{Sd}}{0.85N_{p\ell,Rd}} < 0.2; \qquad \frac{N_{Sd}}{2 \cdot 0.85N_{p\ell,Rd}} + \frac{M_{Sd}}{0.9M_{p\ell,Rd}} \le 1$$
(6)

$$\frac{N_{Sd}}{0.85N_{p\ell,Rd}} < 0.2; \qquad \frac{N_{Sd}}{2 \cdot 0.85N_{p\ell,Rd}} + \frac{M_{Sd}}{0.9M_{p\ell,Rd}} \le 1$$
 (6)

sendo:

$$M_{p\ell,Rd} = Z_{pa} \cdot f_{my} \tag{7}$$

e Z_{pa} definido na Tabela 5 e f_{mv} na Tabela 3.

Na comparação entre valores de capacidade resistente previstos pelas normas aqui representados e oriundos de investigações experimentais verifica-se que a aplicação das recomendações normativas resulta em valores a favor da segurança – DE NARDIN (2003).

4. CONCLUSÕES

As normas técnicas aqui apresentadas e discutidas permitem dimensionar e verificar seções mistas preenchidas submetidas a solicitações de compressão simples e de flexo-compressão.

^{*} o valor de ρ é tabelado na NBR 8800:1986 em função da curva de flambagem. Para perfis tubulares deve ser

Os procedimentos de cálculo adotados pelas normas são similares entre si, diferindo principalmente, na forma como considerar a seção preenchida. Estas diferenças são fruto das diferentes filosofias de projeto, geradas pela incorporação dos pilares preenchidos a normas técnicas já existentes, sejam elas destinadas a elementos de aço ou de concreto armado.

A utilização destas normas é relativamente simples, sendo mais trabalhosa a aplicação do Eurocode 4:1994 e da norma brasileira NBR 14.323:2000.

Embora neste artigo não têm sido apresentadas comparações práticas entre valores de capacidade resistente previstos e resultados experimentais, tanto de pilares preenchidos submetidos à compressão simples quanto à flexo-compressão, a correlação entre ambos é satisfatória.

5. AGRADECIMENTOS

À Fundação de Amparo à Pesquisa do Estado de São Paulo – FAPESP pelo apoio financeiro para realização deste trabalho, concedido na forma de Bolsa de Doutorado.

6. REFERÊNCIAS BIBLIOGRÁFICAS

AMERICAN CONCRETE INSTITUTE (1995). ACI 318R-95 - Building code requirements for reinforced concrete. Detroit.

AMERICAN INSTITUTE OF STEEL CONSTRUCTION (1994). AISC-LRFD: Metric Load and Resistance Factor Design Specification for Structural Steel Buildings. Chicago.

ASSOCIAÇÃO BRASILEIRA DE NORMAS TÉCNICAS (1986). NBR 8800: Projeto e execução de estruturas de aço de edifícios. Rio de Janeiro.

ASSOCIAÇÃO BRASILEIRA DE NORMAS TÉCNICAS (2000). NBR 14323: Dimensionamento de estruturas de aço em situação de incêndio, Rio de Janeiro.

BRITISH STANDARD INSTITUTION (1979). BS 5400, part 5: steel, concrete and composite bridges: code of practice for design of composite bridges. London.

DE NARDIN, S. (1999). Estudo teórico-experimental de pilares mistos compostos por tubos de aço preenchidos com concreto de alta resistência. São Carlos. 148p. Dissertação (Mestrado) – Escola de Engenharia de São Carlos, Universidade de São Paulo.

DE NARDIN, S. (2003). *Pilares mistos preenchidos: estudo da flexo-compressão e de ligações viga-pilar*. São Carlos. 322p. Tese (Doutorado) – Escola de Engenharia de São Carlos, Universidade de São Paulo.

EUROPEAN COMMITTEE OF STANDARDIZATION (1994). ENV 1994-1-1: Eurocode 4 - Design of composite steel and concrete structures, Part 1.1: General rules and rules for buildings. Brussels.

QUEIROZ, G.; PIMENTA, R. J.; MATA, L. A. C. (2001). Elementos das estruturas mistas aço-concreto. Ed. O Lutador, 336p.